

Starkniederschlagshöhen und -spenden gemäß KOSTRA-DWD-2020

Rasterfeld 120197

(Zeile 120, Spalte 197)

Regenspende und Bemessungsniederschlagswerte in Abhängigkeit von Wiederkehrzeit T und Dauerstufe D

| Dauerstufe D | | Wiederkehrzeit T | | | | | | | | | | | | | | | | | |
|--------------|-----|------------------|------------|------|------------|------|------------|------|------------|------|------------|-------|------------|-------|------------|-------|------------|-------|------------|
| | | 1 a | | 2 a | | 3 a | | 5 a | | 10 a | | 20 a | | 30 a | | 50 a | | 100 a | |
| min | Std | mm | l / (s ha) | mm | l / (s ha) | mm | l / (s ha) | mm | l / (s ha) | mm | l / (s ha) | mm | l / (s ha) | mm | l / (s ha) | mm | l / (s ha) | mm | l / (s ha) |
| 5 | | 7,3 | 243,3 | 9,3 | 310,0 | 10,5 | 350,0 | 12,1 | 403,3 | 14,4 | 480,0 | 16,8 | 560,0 | 18,3 | 610,0 | 20,4 | 680,0 | 23,3 | 776,7 |
| 10 | | 9,4 | 156,7 | 11,9 | 198,3 | 13,5 | 225,0 | 15,6 | 260,0 | 18,5 | 308,3 | 21,6 | 360,0 | 23,6 | 393,3 | 26,2 | 436,7 | 30,0 | 500,0 |
| 15 | | 10,6 | 117,8 | 13,5 | 150,0 | 15,3 | 170,0 | 17,6 | 195,6 | 21,0 | 233,3 | 24,5 | 272,2 | 26,8 | 297,8 | 29,8 | 331,1 | 34,0 | 377,8 |
| 20 | | 11,6 | 96,7 | 14,7 | 122,5 | 16,6 | 138,3 | 19,2 | 160,0 | 22,8 | 190,0 | 26,6 | 221,7 | 29,1 | 242,5 | 32,3 | 269,2 | 36,9 | 307,5 |
| 30 | | 12,9 | 71,7 | 16,4 | 91,1 | 18,5 | 102,8 | 21,3 | 118,3 | 25,4 | 141,1 | 29,6 | 164,4 | 32,4 | 180,0 | 36,0 | 200,0 | 41,1 | 228,3 |
| 45 | | 14,3 | 53,0 | 18,1 | 67,0 | 20,5 | 75,9 | 23,6 | 87,4 | 28,1 | 104,1 | 32,8 | 121,5 | 35,8 | 132,6 | 39,8 | 147,4 | 45,6 | 168,9 |
| 60 | 1 | 15,3 | 42,5 | 19,4 | 53,9 | 22,0 | 61,1 | 25,3 | 70,3 | 30,2 | 83,9 | 35,2 | 97,8 | 38,4 | 106,7 | 42,7 | 118,6 | 48,8 | 135,6 |
| 90 | 1,5 | 16,8 | 31,1 | 21,4 | 39,6 | 24,2 | 44,8 | 27,9 | 51,7 | 33,2 | 61,5 | 38,7 | 71,7 | 42,3 | 78,3 | 47,0 | 87,0 | 53,7 | 99,4 |
| 120 | 2 | 18,0 | 25,0 | 22,8 | 31,7 | 25,8 | 35,8 | 29,8 | 41,4 | 35,5 | 49,3 | 41,3 | 57,4 | 45,2 | 62,8 | 50,2 | 69,7 | 57,4 | 79,7 |
| 180 | 3 | 19,7 | 18,2 | 25,0 | 23,1 | 28,3 | 26,2 | 32,6 | 30,2 | 38,9 | 36,0 | 45,3 | 41,9 | 49,5 | 45,8 | 55,0 | 50,9 | 62,9 | 58,2 |
| 240 | 4 | 21,0 | 14,6 | 26,7 | 18,5 | 30,2 | 21,0 | 34,8 | 24,2 | 41,5 | 28,8 | 48,3 | 33,5 | 52,8 | 36,7 | 58,7 | 40,8 | 67,1 | 46,6 |
| 360 | 6 | 23,0 | 10,6 | 29,2 | 13,5 | 33,0 | 15,3 | 38,1 | 17,6 | 45,4 | 21,0 | 52,9 | 24,5 | 57,8 | 26,8 | 64,2 | 29,7 | 73,5 | 34,0 |
| 540 | 9 | 25,1 | 7,7 | 31,9 | 9,8 | 36,1 | 11,1 | 41,7 | 12,9 | 49,6 | 15,3 | 57,8 | 17,8 | 63,2 | 19,5 | 70,3 | 21,7 | 80,3 | 24,8 |
| 720 | 12 | 26,8 | 6,2 | 34,0 | 7,9 | 38,5 | 8,9 | 44,4 | 10,3 | 52,9 | 12,2 | 61,6 | 14,3 | 67,3 | 15,6 | 74,8 | 17,3 | 85,6 | 19,8 |
| 1080 | 18 | 29,3 | 4,5 | 37,2 | 5,7 | 42,1 | 6,5 | 48,5 | 7,5 | 57,8 | 8,9 | 67,4 | 10,4 | 73,6 | 11,4 | 81,8 | 12,6 | 93,6 | 14,4 |
| 1440 | 24 | 31,2 | 3,6 | 39,6 | 4,6 | 44,8 | 5,2 | 51,7 | 6,0 | 61,6 | 7,1 | 71,7 | 8,3 | 78,4 | 9,1 | 87,1 | 10,1 | 99,7 | 11,5 |
| 2880 | 48 | 36,3 | 2,1 | 46,1 | 2,7 | 52,2 | 3,0 | 60,2 | 3,5 | 71,6 | 4,1 | 83,5 | 4,8 | 91,3 | 5,3 | 101,4 | 5,9 | 116,0 | 6,7 |
| 4320 | 72 | 39,7 | 1,5 | 50,4 | 1,9 | 57,0 | 2,2 | 65,7 | 2,5 | 78,3 | 3,0 | 91,2 | 3,5 | 99,7 | 3,8 | 110,8 | 4,3 | 126,7 | 4,9 |
| 5760 | 96 | 42,2 | 1,2 | 53,6 | 1,6 | 60,7 | 1,8 | 70,0 | 2,0 | 83,4 | 2,4 | 97,2 | 2,8 | 106,2 | 3,1 | 118,0 | 3,4 | 135,0 | 3,9 |
| 7200 | 120 | 44,3 | 1,0 | 56,3 | 1,3 | 63,7 | 1,5 | 73,5 | 1,7 | 87,5 | 2,0 | 102,0 | 2,4 | 111,5 | 2,6 | 123,9 | 2,9 | 141,7 | 3,3 |
| 8640 | 144 | 46,1 | 0,9 | 58,6 | 1,1 | 66,3 | 1,3 | 76,5 | 1,5 | 91,1 | 1,8 | 106,2 | 2,0 | 116,0 | 2,2 | 128,9 | 2,5 | 147,5 | 2,8 |
| 10080 | 168 | 47,7 | 0,8 | 60,6 | 1,0 | 68,6 | 1,1 | 79,1 | 1,3 | 94,2 | 1,6 | 109,8 | 1,8 | 120,0 | 2,0 | 133,4 | 2,2 | 152,5 | 2,5 |

Starkniederschlagshöhen und -spenden gemäß KOSTRA-DWD-2020

Rasterfeld 120197

(Zeile 120, Spalte 197)

Örtliche Unsicherheiten in Abhängigkeit von Wiederkehrzeit T und Dauerstufe D

| Dauerstufe D | | Wiederkehrzeit T | | | | | | | | |
|--------------|-----|------------------|-----|-----|-----|------|------|------|------|-------|
| | | 1 a | 2 a | 3 a | 5 a | 10 a | 20 a | 30 a | 50 a | 100 a |
| min | Std | ± % | ± % | ± % | ± % | ± % | ± % | ± % | ± % | ± % |
| 5 | | 12 | 11 | 12 | 13 | 13 | 14 | 14 | 15 | 15 |
| 10 | | 12 | 14 | 16 | 17 | 18 | 19 | 19 | 20 | 20 |
| 15 | | 14 | 17 | 18 | 19 | 20 | 22 | 22 | 23 | 23 |
| 20 | | 16 | 18 | 20 | 21 | 22 | 23 | 24 | 24 | 25 |
| 30 | | 17 | 20 | 21 | 22 | 24 | 25 | 25 | 26 | 26 |
| 45 | | 18 | 21 | 22 | 23 | 25 | 26 | 26 | 27 | 28 |
| 60 | 1 | 18 | 21 | 22 | 23 | 25 | 26 | 27 | 27 | 28 |
| 90 | 1,5 | 18 | 21 | 22 | 23 | 25 | 26 | 26 | 27 | 28 |
| 120 | 2 | 17 | 20 | 22 | 23 | 24 | 25 | 26 | 27 | 27 |
| 180 | 3 | 17 | 20 | 21 | 22 | 24 | 25 | 25 | 26 | 26 |
| 240 | 4 | 16 | 19 | 20 | 21 | 23 | 24 | 24 | 25 | 26 |
| 360 | 6 | 15 | 18 | 19 | 20 | 22 | 23 | 23 | 24 | 25 |
| 540 | 9 | 15 | 17 | 18 | 20 | 21 | 22 | 22 | 23 | 24 |
| 720 | 12 | 14 | 17 | 18 | 19 | 20 | 21 | 22 | 22 | 23 |
| 1080 | 18 | 14 | 16 | 17 | 18 | 19 | 20 | 21 | 21 | 22 |
| 1440 | 24 | 14 | 16 | 17 | 18 | 19 | 20 | 20 | 21 | 21 |
| 2880 | 48 | 14 | 16 | 16 | 17 | 18 | 19 | 19 | 20 | 20 |
| 4320 | 72 | 15 | 16 | 16 | 17 | 18 | 18 | 19 | 19 | 20 |
| 5760 | 96 | 16 | 16 | 17 | 17 | 18 | 19 | 19 | 19 | 20 |
| 7200 | 120 | 17 | 17 | 17 | 18 | 18 | 19 | 19 | 19 | 20 |
| 8640 | 144 | 17 | 17 | 17 | 18 | 18 | 19 | 19 | 19 | 20 |
| 10080 | 168 | 18 | 18 | 18 | 18 | 19 | 19 | 19 | 19 | 20 |

Parameter für abweichende T und D

Lokationsparameter ξ (Xi)

15,61160699

Skalenparameter α (Alpha)

5,8618835

Formparameter κ (Kappa)

-0,1

1. Koutsoyiannis-Parameter θ (Theta)

0,02670655

2. Koutsoyiannis-Parameter η (Eta)

0,78173157

Parameter für dauerstufenübergreifende Extremwertschätzung nach KOUTSOYIANNIS et al. 1998.

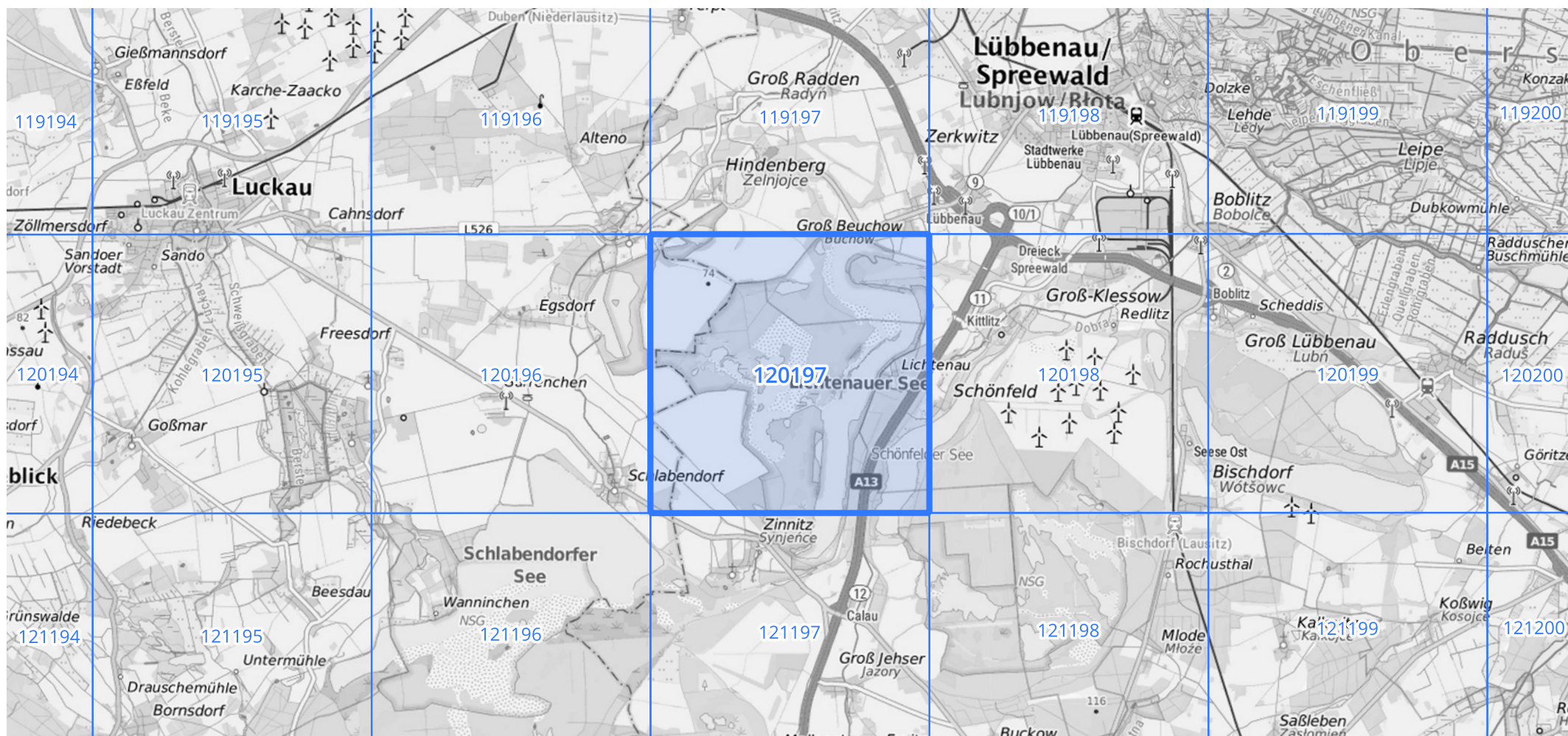
Siehe auch Anwendungshilfe zu KOSTRA-DWD-2020 des Deutschen Wetterdienstes.

Starkniederschlagshöhen und -spenden gemäß KOSTRA-DWD-2020

Rasterfeld 120197

(Zeile 120, Spalte 197)

Übersichtskarte des Rasterfeldes 120197, M 1 : 100 000



Quelle Rasterdaten: KOSTRA-DWD-2020 des Deutschen Wetterdienstes, Stand 12/2022.

Seite 3 von 3

Kartendarstellung: © Bundesamt für Kartographie und Geodäsie (2023), Datenquellen: https://sgx.geodatenzentrum.de/web_public/gdz/datenquellen/Datenquellen_TopPlusOpen.html

Für die Richtigkeit und Aktualität der Angaben wird keine Gewähr übernommen. Erstellt 01/2023.